

器官及外周血管超声医学学术会议论文汇编[C].中国超声医学工程学会,2009.

- [13] 叶芊君,陈武.超微血管成像的临床研究进展[J].影像研究与医学应用,2018,2(4):1-2.
- [14] 虞晓龙,武加标,李尊,等.彩色模式超微血管成像技术在活动期类风湿关节炎手腕关节中的应用价值[J].中国临床医学影像杂志,2018,29(7):523-525.
- [15] 孙宏,卢瑞刚,李硕,等.超微血管成像技术在类风湿性关节炎滑膜血管翳中的应用[J].中华医学超声杂志(电子版),2016,13(4):254-257.
- [16] 彭锦锦,吕海霞,姚俊东,等.超微血流成像及能量多普勒超声在类风湿关节炎临床缓冲期中的应用研究[J].临床超声医学杂志,

2020,22(1):17-20.

- [17] Lee GY, Kim S, Choi ST, et al. The superb microvascular imaging is more sensitive than conventional power Doppler imaging in detection of active synovitis in patients with rheumatoid arthritis [J]. Clin Rheumatol, 2019, 38(9):2613-2620.
- [18] 施杨,徐金锋,罗慧,等.超声造影与彩色多普勒超声对类风湿关节炎活动性评估的比较[J].中国医药科学,2017,7(13):130-132.
- [19] 邵克忠,金珍木,贺军,等.超声造影在类风湿关节炎腕关节活动期病变诊断价值的研究[J].中国现代医生,2017,55(35):117-121.
- [20] 朱梅,于慧敏,王菲.超声造影对类风湿关节炎腕部关节滑膜病变诊断价值的探讨[J].中国超声医学杂志,2015,31(5):439-442.

(收稿日期:2019-09-19)

## · 病例报道 ·

# Color Doppler ultrasonic diagnosis of giant renal hamartoma : a cases report 彩色多普勒超声诊断巨大肾错构瘤 1 例

杨天煌 许贤照 李耀华 黄雅香

[中图法分类号]R445.1;R737.11

[文献标识码]B

患者女,63岁,平素身体健康,无基础性疾病。体检超声检查:左上腹见一巨大稍高团块状回声,大小16.1 cm×6.6 cm,内回声不均,边界不清,团块下端与左肾中部相连;CDFI示团块内探及少许彩色血流信号(图1)。超声提示:左肾实性占位(肾错构瘤可能性大)。上腹部CT平扫+增强扫描检查:左中上腹部左肾外侧见一范围7.9 cm×10.8 cm×14.4 cm不规则低密度影,CT值-91 Hu,边界欠清,病灶与左肾中部外侧缘关系密切,增强扫描病灶内可见不均匀强化血管影,左肾受压向前内移位。CT提示:左肾占位(考虑错构瘤)。患者甲胎蛋白、癌胚抗原、CA199、CA125、CA153均正常,血常规、尿常规、生化全套等实验室检查结果均正常。综合考虑诊断:左肾实性占位性病变,左肾错构瘤?患者后于全身麻醉下行左上腹包块切除术,术中见左上腹包块与左肾中部相连,手术剥离成功。术后病理诊断:左肾错构瘤(图2)。

讨论:肾错构瘤的发病率为0.10%~0.22%,好发年龄为40~50岁<sup>[1]</sup>。近年来随着健康体检的增加,无症状肾错构瘤的检出率逐渐升高。典型的肾错构瘤以脂肪或平滑肌成分为主;非典型的肾错构瘤脂肪成分相对缺乏,易误诊为肾脏恶性肿瘤。本例患者肾错构瘤体积巨大,实属少见。超声能够观察肾错构瘤瘤体的形态、位置及内部血管结构,可检出直径约1 cm的肿块。但受操作者经验及巨大肾错构瘤不能完整显示肿块整体

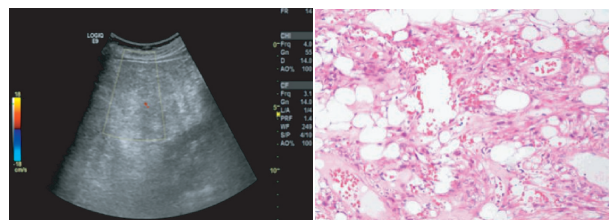


图1 左肾错构瘤CDFI图

图2 左肾错构瘤病理图(HE染色,×100)

三维情况的影响,超声检查存在一定局限。螺旋CT能够清晰显示肿块的大小、形态、边缘及内部密度,且其对低密度脂肪影像检查具有特异性,CT诊断典型肾错构瘤的准确率高达95%以上,但不适用于少脂肪型肾错构瘤的检测<sup>[2]</sup>。总之,对于基层医院或无症状者,彩色多普勒超声是筛查肾错构瘤的有效手段之一。

## 参考文献

- [1] Fujii Y, Ajima J, Oka K, et al. Benign renal tumors detected among healthy adults by abdominal ultrasonography [J]. Eur Urol, 1995, 27(2):124-127.
- [2] 梁文彬,刘斯润.双肾巨大血管平滑肌脂肪瘤1例[J].实用医学杂志,2007,3(9):1176-1177.

(收稿日期:2019-07-27)